

МОСКОВСКИЙ ОРДЕНА ЛЕНИНА, ОРДЕНА ОКТЯБРЬСКОЙ РЕВОЛЮЦИИ И  
ОРДЕНА ТРУДОВОГО КРАСНОГО ЗНАМЕНИ ГОСУДАРСТВЕННЫЙ УНИВЕРСИТЕТ  
ИМЕНИ М. В. ЛОМОНОСОВА

ХИМИЧЕСКИЙ ФАКУЛЬТЕТ

На правах рукописи

БОВК ОЛЕГ МИХАЙЛОВИЧ

УДК 541.118

ИОНОННО-МОЛЕКУЛЯРНЫЕ РАВНОВЕСИЯ С УЧАСТИЕМ ГАЗОФАЗНЫХ  
— ИСЛЮРОДСОДЕРЖАЩИХ ОТРИЦАТЕЛЬНЫХ ИОНОВ.

02.00.04 — физическая химия

Автореферат  
диссертации на соискание ученой степени  
кандидата химических наук

Москва — 1987 г.

Работа выполнена на кафедре физической химии Химического  
факультета МГУ в лаборатории электронографии

НАУЧНЫЙ РУКОВОДИТЕЛЬ:

доктор химических наук, профессор Сидоров Лев Николаевич

ОФИЦИАЛЬНЫЕ ОТМОНЕНЦЫ:

доктор химических наук Гусаров Артур Васильевич  
кандидат физико-математических наук Чеховской Дмитрий  
Витальевич

ВЕДУЩАЯ ОРГАНИЗАЦИЯ:

Институт химии сплавов им. И.В.Гребенщикова АН ССР,  
г. Ленинград

Защита состоится "19" *февр* 1988 г.  
в 16 часов на заседании специализированного ученого совета  
Д.053.06.44 по химическим наукам при МГУ им. М.В.Ломоносова  
по адресу: 119898, РСН, Москва В-234, Ленинские горы, МГУ,  
Химический факультет, зал. СХА

С диссертацией можно ознакомиться в библиотеке Химического  
факультета МГУ.

Автореферат разослан "15" *декабр* 1988 г.

Ученый секретарь  
специализированного совета,  
кандидат химических наук

( Е.В.Калашникова )

*Е.В.Калашникова*

## ОБЩАЯ ХАРАКТЕРИСТИКА РАБОТЫ.

Актуальность работы. Настоящая работа выполнена в соответствии с общесоюзной комплексной проблемой "Теплофизика и теплознегрегтика" шифр I.9.I.I. пункты 3 и 6 (# гос. регистрации 0187.0 025664) и договору о научно-техническом сотрудничестве между ИХС АН СССР г. Ленинград и Химическим факультетом МГУ по теме "Исследование термодинамических свойств оксидных систем методом высокотемпературной масс-спектрометрии".

Определение парциальных давлений кислорода и активностей оксидов щелочных металлов в различных системах при высоких температурах является требованием современной технологии. Разработка новых методов измерения этих величин позволяет решать задачи в области металлургических процессов, газификации угля, горячей коррозии аппаратуры. Перспективными методами для решения этих задач являются методы основанные на изучении ионно-молекулярных равновесий. Эти методы расширяют возможности высокотемпературной масс-спектрометрии при определении низких парциальных давлений газов.

Выбор объектов настоящего исследования – отрицательные ионы  $XO_4^-$  (и – 2, 3, 4),  $MXO_4^-$  (M-щелочной металл, X- $\text{K}, \text{Ca}, \text{Mg}, \text{W}$ ) – обусловлен тем, что используя ионно-молекулярные равновесия с участием этих ионов можно определить парциальное давление кислорода и активность оксидов щелочных металлов в различных системах при высоких температурах. Надежность такого определения сильно зависит от точности и взаимосогласованности термохимических характеристик используемых ионов. Получение таких характеристик и составляет одну из основных задач данной работы.

Выбор систем ( $\text{W}-\text{MnO}_2-\text{MgO}-\text{SiO}_2$ ) для апробации предлагаемой методики определения парциального давления кислорода и активностей оксидов щелочных металлов обусловлен их практической значимостью. Наличие литературных данных по этим системам позволяет объективно оценить правомерность применения предлагаемого подхода.

Ионы  $\text{CrO}_3^-, \text{MoO}_3^-, \text{WO}_3^-$  зарегистрированы в плазме МГД-генераторов, получаемой сжиганием угля и оказывают существенное влияние на эффективность работы МГД-установки. Термохимические характеристики этих ионов необходимы для моделирования процессов происходящих в плазме с целью оптимальной очистки угля.

Цель работы. 1. Установить состав ионов в насыщенных парах солей щелочных металлов вида  $M_2XO_4$  ( $M$ -щелочный металл,  $X$ - $S, Cr, Mo, W$ ). 2. Определить энталпии образования обнаруженных кислородсодержащих анионов элементов УГ группы. 3. Разработать методику определения парциального давления кислорода и активности оксидов щелочных металлов методом ионно-молекулярных равновесий в системах, насыщенные пары которых не содержат отрицательных ионов.

Научная новизна. Разработана методика определения парциального давления кислорода и активностей оксидов щелочных металлов методом ионно-молекулярных равновесий в системах, насыщенные пары которых не содержат отрицательных ионов. Методика основана на введении в систему небольшой добавки соединений склонных к гетеролитической диссоциации в газовой фазе.

Впервые зарегистрировано в газовой фазе 22 отрицательных иона. Определены константы равновесия и энталпии 43 ионно-молекулярных и ионно-ионных реакций с участием кислородсодержащих отрицательных ионов элементов УГ группы. Получены энталпии образования 22 отрицательных ионов, в том числе для 13 ионов энталпии образования получены впервые, для остальных ионов определены более надежные значения.

Практическая значимость. Полученные в данной работе термодинамические величины для кислородсодержащих отрицательных ионов переданы в Институт высоких температур АН ССР для включения в банк данных ИВТАНТЕРМО, а также в Институт химии силикатов АН ССР, Ленинградский госуниверситет и Ивановский химико-технологический институт.

Результаты работы используются в курсе лекций "Высокотемпературная масс-спектрометрия" читаемом на кафедре физической химии Химического факультета МГУ для студентов и аспирантов.

Апробация работы. Основные результаты работы докладывались на ХУ Всесоюзном Чугаевском совещании по химии комплексных соединений (Киев, 1985 г.), ІУ Всесоюзной конференции по масс-спектрометрии (Сумы, 1986 г.), ХУІ Всесоюзном Чугаевском совещании по химии комплексных соединений (Красноярск, 1987 г.), конференциях молодых ученых Химического факультета МГУ (1985, 1986, 1987 гг.), конференции молодых ученых и специалистов Института высоких температур АН ССР (Москва, 1987 г.).

По результатам работы имеется II публикаций.

Структура работы. Диссертация состоит из введения, литературного обзора, экспериментальной части, обсуждения результатов, приложения и списка цитируемой литературы.

В литературном обзоре рассматриваются следующие вопросы: состав ионов над галогенидами щелочных металлов при их исследовании масс-спектральными методами; энталпии образования кислородсодержащих анионов в газовой фазе; применение метода ионно-молекулярных равновесий для определения термохимических характеристик ионов и измерения активности (парциальных давлений) нейтральных компонентов; определение давления диссоциации оксида никеля и активности оксида натрия в натриевосиликатной системе.

В экспериментальной части приведены описания экспериментальной установки (раздел 2.1), использованных методик (раздел 2.2.1), а также полученные экспериментальные результаты: константы ионно-молекулярных равновесий (раздел 2.2.2), давление кислорода в системе  $\text{Ni} - \text{NiO}$  (раздел 2.3), активность оксида натрия в системе  $\text{Na}_2\text{O} - \text{SiO}_2$  (раздел 2.4).

Обсуждение результатов состоит из 4 разделов: в разделе 3.1 приводится сравнение результатов ионов зарегистрированных в газовой фазе над галогенидами и сульфатами щелочных металлов; в разделе 3.2 описан выбор исходных термодинамических величин; в разделе 3.3 рассчитаны и обсуждены энталпии образования отрицательных ионов; в разделе 3.4 обсуждена методика определения парциального давления кислорода и активности оксидов щелочных металлов методом ионно-молекулярных равновесий.

В приложении приводится расчет состава насыщенного пара при условии конгруэнтности испарения сульфатов щелочных металлов, описание эксперимента с применением однофакторного дисперсионного анализа для обработки результатов и таблицы термодинамических функций, которые оценивались в настоящей работе.

## АППАРАТУРА И МЕТОДИКА ЭКСПЕРИМЕНТА.

В качестве метода исследования применен метод ионно-молекулярных равновесий (ИМР). Суть метода заключается в следующем: вещество помещается в эфузионную камеру Кнудсена и нагревается до высоких температур (1000 К), в насыщенном паре наряду с нейтральными молекулами посредством термической ионизации образуются ионы (концентрация  $10^3 - 10^{10} \text{ см}^{-3}$ ). Все компоненты насыщенного пара, нейтральные и заряженные, находятся в термодинамическом равновесии между собой. Ионы вытягиваются электрическим полем из эфузионной камеры и регистрируются масс-спектрометром. Измеряемый ионный ток прямопропорциональный концентрации ионов в эфузионной камере. Это позволяет рассчитать отношение парциальных давлений ионов и, следовательно, определить константу ионно-молекулярного равновесия.

Работа проводилась на масс-спектрометре МХ-1303 переоборудованном для изучения ионно-молекулярных равновесий. Использовалась платиновая ячейка Кнудсена. Для определения температуры использовалась Pt - PtRh(10%Rh) термопара, которая калибровалась по точке плавления алюминия (934 К) и точке плавления меди (1356 К). Поправка составила 15 К в точке плавления алюминия. Точность измерения температуры оценивается  $\pm 3$  К. Измерение эдс и поддержание заданной температуры осуществлялось высокоточным регулятором температуры ВРТ-3. Точность измерения отношения м/е оценивается  $\pm 0.5$  на 150 м/е.

Ионные токи измерялись вторичным электронным умножителем ВЭУ-6. Отношение парциальных давлений ионов рассчитывалось по формуле

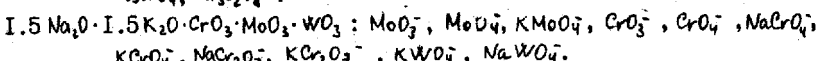
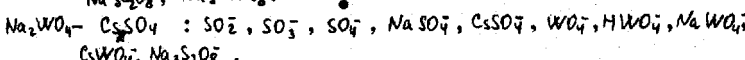
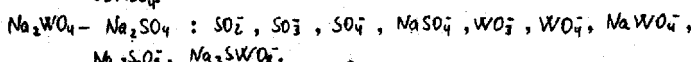
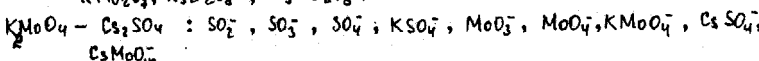
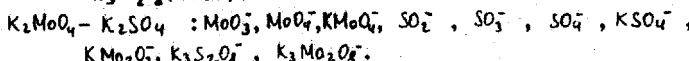
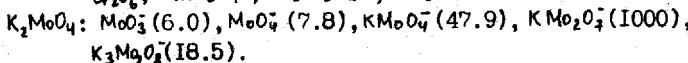
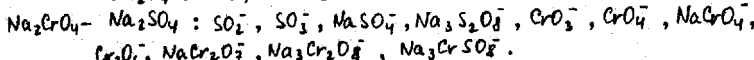
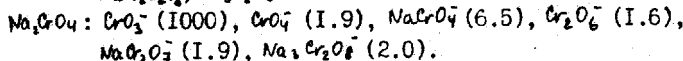
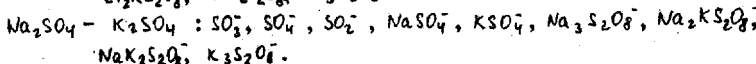
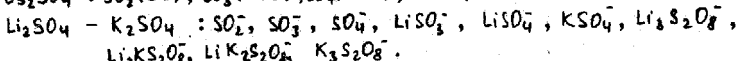
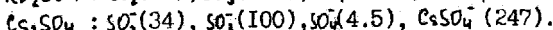
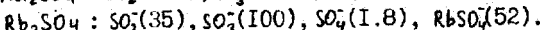
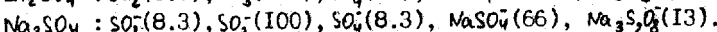
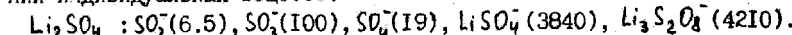
$$\frac{P(A^-)}{P(B^-)} = \frac{I(A^-) \cdot m(A^-) \cdot i(A^-)}{I(B^-) \cdot m(B^-) \cdot i(A^-)}$$

где  $P(A^-)$  - парциальное давление иона  $A^-$  в эфузионной камере Кнудсена,  $I$  - ионный ток зарегистрированный ВЭУ-6,  $M$  - масса иона,  $i$  - процентное содержание измеряемого изотопа.

Использовались препараты марки не хуже, чем ХЧ. Дополнительному анализу и очистке препараты не подвергались. Перед началом работы препараты прокаливались на воздухе, а также выдерживались в течение 2-2.5 часов при температуре 150-300 С непосредственно внутри масс-спектрометра в эфузионной камере.

## СОДЕРЖАНИЕ РАБОТЫ.

Зарегистрированные ионы. Ниже приведены отрицательные ионы, которые регистрировались в насыщенных парах кислородсодержащих солей щелочных металлов вида  $M_2XO_4$  ( $M$  – щелочной металл,  $X$  –  $S$ ,  $Cr, Mo, W$ ) и систем на их основе. В скобках приведены относительные интенсивности при средней температуре опыта при исследовании индивидуальных веществ.

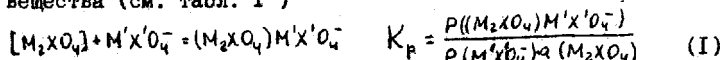


Зарегистрированные отрицательные ионы можно классифицировать следующим образом: 1.  $XO_n^-$  ( $n=2-4, X = S, Cr, Mo, W$ ) – такие ионы присутствуют в паре всех исследованных систем. Их образование, по-видимому, связано с частичной диссоциацией солей щелочных металлов при нагревании. 2.  $MXO_4^-$  – продукт гетеролитической диссоциации молекулы соли двухосновной кислоты по первой ступени.

3.  $(M_2XO_4)M'X'O_4^-$ ,  $(XO_3)MXO_4^-$  – ассоциированные ионы, которые рассматриваются, как продукт присоединения иона  $MXO_4^-$  к нейтральной молекуле соли щелочного металла или соответствующего оксида.

Константы равновесия и энталпии ионно-молекулярных реакций.

Исходя из зарегистрированных масс-спектров ионов определены константы равновесия для ионно-молекулярных и ионно-ионных реакций (см. табл. I,2), Изученные реакции можно разбить на следующие группы: I. реакции с участием одного конденсированного вещества (см. табл. I)



квадратные скобки означают, что вещество находится в конденсированном состоянии.

2. реакции с участием газообразных продуктов диссоциации солей щелочных металлов: кислорода, щелочных металлов (табл. 2 реакции I-4). В общем виде

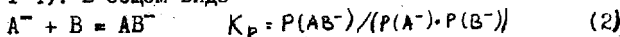
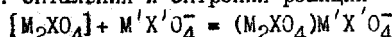
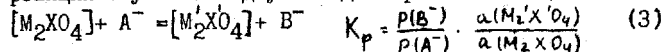


Таблица I. Энталпия и энтропия реакций



реакции	T, K	$\Delta H_f^\circ$ , кДж/моль	$\Delta S_f^\circ$ , Дж/моль К	число точек
$[Li_2SO_4] + LiSO_4^- \rightleftharpoons Li_3S_2O_8^-$	1300	-38 ± 4	-20 ± 3	20
$[Na_2SO_4] + NaSO_4^- \rightleftharpoons Na_3S_2O_8^-$	1373	-II ± 8	-14 ± 5	107
$[K_2SO_4] + LiSO_4^- \rightleftharpoons LiK_2S_2O_8^-$	1335	2 ± 20	-16 ± 15	13
$[Li_2SO_4] + KSO_4^- \rightleftharpoons Li_2K S_2O_8^-$	1335	-7 ± 30	-18 ± 23	13
$[K_2SO_4] + NaSO_4^- \rightleftharpoons NaK_2S_2O_8^-$	1311	I3 ± 10	3 ± 7	21
$[Na_2SO_4] + KSO_4^- \rightleftharpoons Na_2K S_2O_8^-$	1311	-6 ± I	-4 ± I	21
$[Na_2CrO_4] + NaCrO_4^- \rightleftharpoons Na_3Cr_2O_8^-$	1236	4 ± 7	-I ± 6	32
$[K_2MoO_4] + KMnO_4^- \rightleftharpoons K_3Mo_2O_8^-$	1271	-I3 ± 5	-15 ± 4	36
$[Na_2WO_4] + NaSO_4^- + Na_3SWO_8^-$	1399	3 ± 5	4 ± 6	26
$[Na_2SO_4] + NaWO_4^- \rightleftharpoons Na_3SWO_8^-$	1414	-24 ± 21	-26 ± 15	11

3. реакции с участием двух конденсированных веществ (5-13)



4. константы равновесия ионно-молекулярных реакций содержат только отношение давлений ионов.

Активность индивидуальных веществ принималась равной единице. Активность конденсированных веществ в системах определялась по формулам

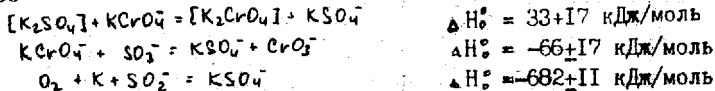
$$\alpha(M_2XO_4) = \frac{P((M_2XO_4)M'X'0_4^-)}{P(M'X'0_4^-)} \cdot \frac{1}{K_p}$$

где  $K_p$  соответствующая константа равновесия реакции из таблицы I. Активность сульфата калия определялась из уравнения

$[K_2SO_4] + KSO_4^- = K_3S_2O_8^-$ , численное значение  $K_p$  рассчитывалось по формуле  $\ln K_p = -9598/T - 0.493$ . Парциальное давление  $R_b$ ,  $C_s$ ,  $O_2$  в реакциях I-4 рассчитано из условия конгруэнтного испарения сульфатов рубидия и цезия.

Для реакций приведенных в табл. 2 рассчитаны приведенные потенциалы Гиббса и определены энталпии по III закону термодинамики. Для реакций приведенных в табл. I получены значения энталпии и энтропии только по II закону термодинамики, из-за трудностей в оценке молекулярных постоянных ассоциированных ионов.

Энталпии образования анионов. Для определения энталпий образования анионов использовались значения энталпий 30 реакций полученные в данной работе по III закону термодинамики (см. табл. 2), а также привлекались энталпии трех реакций полученные ранее



В этих реакциях участвуют 34 соединения, из которых для 12 соединений энталпии образования известны. Из использованных 33 реакций линейно независимыми являются 23. Полученную переопределенную систему уравнений решали методом наименьших квадратов.

$$A \Delta f H = \Delta H \pm \varepsilon$$

где  $A$  – матрица стехиометрических коэффициентов ( $33 \times 34$ ),

Таблица 2. Экспериментальные значения энталпий реакций.

реакция	T, K	ЧИСЛО ТОЧЕК	$\Delta H^\circ, \text{ кДж/моль}$
I. $\text{RB} + \text{O}_2 + \text{SO}_2^- = \text{RB}\text{SO}_4^-$	I246	11	-664+18
2. $\text{Cs} + \text{O}_2 + \text{SO}_2^- = \text{Cs SO}_4^-$	II45	30	-675+13
3. <sup>a</sup> $\text{SO}_2^- + \frac{1}{2}\text{O}_2 = \text{SO}_3^-$	II80	49	-201+5
4. <sup>a</sup> $\text{SO}_2^- + \text{O}_2 = \text{SO}_3^-$	II80	47	-344+8
5. $[\text{K}_2\text{SO}_4] + 2\text{Li SO}_4^- = [\text{Li}_2\text{SO}_4] + 2\text{KSO}_4^-$	I333	39	101+27
6. $[\text{K}_2\text{SO}_4] + 2\text{Na SO}_4^- = [\text{Na}_2\text{SO}_4] + 2\text{KSO}_4^-$	I311	21	18+29
7. $[\text{Na}_2\text{CrO}_4] + \text{Na SO}_4^- = [\text{Na}_2\text{SO}_4] + \text{NaCrO}_4^-$	I355	30	-37+16
8. $[\text{K}_2\text{SO}_4] + \text{MoO}_4^- = [\text{K}_2\text{MoO}_4] + \text{SO}_3^-$	I287	12	-30+II
9. $[\text{K}_2\text{SO}_4] + \text{MoO}_4^- = [\text{K}_2\text{MoO}_4] + \text{SO}_4^-$	I285	13	-5+13
10. $[\text{K}_2\text{SO}_4] + \text{KMnO}_4^- = [\text{K}_2\text{MnO}_4] + \text{KSO}_4^-$	I285	13	8+16
II. $[\text{Na}_2\text{SO}_4] + \text{WO}_4^- = [\text{Na}_2\text{WO}_4] + \text{SO}_3^-$	I411	16	-70+12
12. $[\text{Na}_2\text{SO}_4] + \text{WO}_4^- = [\text{Na}_2\text{WO}_4] + \text{SO}_4^-$	I409	21	-22+13
13. $[\text{Na}_2\text{SO}_4] + \text{Na WO}_4^- = [\text{Na}_2\text{WO}_4] + \text{Na SO}_4^-$	I414	11	-2+17
14. $[\text{Na}_2\text{SO}_4] + \text{Cs WO}_4^- = [\text{Na}_2\text{WO}_4] + \text{Cs SO}_4^-$	I299	4	27+21
15. $\text{SO}_2^- + \text{SO}_4^- = 2\text{SO}_3^-$	I356	173	-60+13
16. $\text{Li SO}_4^- + \text{SO}_2^- = \text{Li SO}_3^- + \text{SO}_3^-$	I342	6	-65+34
17. $\text{NaCrO}_4^- + \text{SO}_3^- = \text{NaSO}_4^- + \text{CrO}_3^-$	I353	16	-70+17
18. $\text{CrO}_3^- + \text{SO}_3^- = \text{CrO}_4^- + \text{SO}_2^-$	I279	46	89+II
19. $\text{SO}_3^- + \text{KMnO}_4^- = \text{KSO}_4^- + \text{MnO}_4^-$	I283	18	39+17
20. $\text{SO}_4^- + \text{KMnO}_4^- = \text{KSO}_4^- + \text{MnO}_4^-$	I267	7	17+19
21. $\text{CsSO}_4^- + \text{MoO}_3^- = \text{CsMoO}_4^- + \text{SO}_3^-$	I277	6	-27+21
22. $\text{SO}_4^- + \text{Na WO}_4^- = \text{NaSO}_4^- + \text{WO}_4^-$	I365	24	26+18
23. $\text{SO}_3^- + \text{Na WO}_4^- = \text{NaSO}_4^- + \text{WO}_4^-$	I396	13	69+18
24. $\text{CsSO}_4^- + \text{WO}_4^- = \text{Cs WO}_4^- + \text{SO}_4^-$	I330	6	-47+22
25. $\text{NaSO}_4^- + \text{Cs WO}_4^- = \text{Na WO}_4^- + \text{Cs SO}_4^-$	I291	13	17+23
26. $\text{Na MoO}_4^- + \text{K WO}_4^- = \text{Na WO}_4^- + \text{KMnO}_4^-$	I322	10	3+21
27. $\text{NaCrO}_4^- + \text{KMnO}_4^- = \text{NaMnO}_4^- + \text{KCrO}_4^-$	I316	10	2+22
28. $\text{MoO}_3^- + \text{KCrO}_4^- = \text{KMnO}_4^- + \text{CrO}_3^-$	I306	6	-51+21
29. $\text{MoO}_3^- + \text{NaCrO}_4^- = \text{NaMnO}_4^- + \text{CrO}_3^-$	I423	13	-93+18
30. $\text{MoO}_4^- + \text{NaCrO}_4^- = \text{NaMnO}_4^- + \text{CrO}_4^-$	I506	15	-46+19

<sup>a</sup>-объединенные данные по измерениям над  $\text{K}_2\text{SO}_4$ ,  $\text{RB}_2\text{SO}_4$  и  $\text{Cs}_2\text{SO}_4$ .

$\Delta f H^\circ$  - вектор энталпий образования (34 соединения),  $\Delta H$  - вектор энталпий реакций (33 реакции),  $\varepsilon$  - вектор случайных ошибок в энталпиях реакций.

В результате решения определен набор 22 взаимосогласованных энталпий образования отрицательных ионов (см. табл. 3). Приведенная погрешность включает в себя случайную ошибку в определении констант равновесия (26) и погрешность термодинамических функций.

Таблица 3. Энталпии образования отрицательных ионов.

Ион	$\Delta f H^\circ$ , кДж/моль	Ион	$\Delta f H^\circ$ , кДж/моль
1. $SO_3^-$	-602 ± 6	12. $KCrO_4^-$	-998 ± 16
2. $SO_4^-$	-743 ± 9	13. $MoO_3^-$	-637 ± 11
3. $HSO_3^-$	-904 ± 34	14. $MoO_4^-$	-800 ± 11
4. $HSO_4^-$	-1041 ± 12	15. $NaMoO_4^-$	-1035 ± 17
5. $NaSO_4^-$	-976 ± 13	16. $KMoO_4^-$	-1064 ± 15
6. $KS_0_4^-$	-992 ± 12	17. $CsMoO_4^-$	-1060 ± 17
7. $RbSO_4^-$	-982 ± 19	18. $WO_3^-$	-695 ± 11
8. $CsSO_4^-$	-998 ± 13	19. $WO_4^-$	-881 ± 11
9. $CrO_3^-$	-671 ± 9	20. $NaWO_4^-$	-1139 ± 15
10. $CrO_4^-$	-783 ± 11	21. $KWO_4^-$	-1172 ± 18
11. $NaCrO_4^-$	-973 ± 14	22. $CsWO_4^-$	-1180 ± 15

Подчеркнуты ионы, энталпии образования для которых определены впервые.

Ранг матрицы  $A$ ,  $\text{rang}(A)=23$ , поэтому можно определить не 22 неизвестных энталпии образования, а 23. Это позволило провести проверку взаимосогласованности энталпий образования взятых в качестве известных (ключевых) величин.

При решении системы уравнений (4) к 22 неизвестным энталпиям образования по очереди добавлялись в качестве неизвестных энталпии образования  $Na_2SO_4$ ,  $K_2SO_4$ ,  $Na_2CrO_4$  и  $K_2CrO_4$ . Результаты решения приведены в табл. 4. Полученные значения энталпий образования сульфатов и хроматов натрия и калия хорошо согласуются с литературными значениями. Это свидетельствует о надежности определения энталпий реакций, а также о взаимной согласованности энталпий образования ключевых соединений.

Таблица 4. Проверка согласованности ключевых энталпий образования.

соединение	$\Delta f H^\circ$ , кДж/моль	$\Delta f H^\circ$ , рассч. кДж/моль
$Na_2SO_4$ , тв	-1376.4±0.4	-1371±12
$K_2SO_4$ , тв	-1427.2±0.5	-1433±12
$Na_2CrO_4$ , тв	-1335.2±3.3	-1341±12
$K_2CrO_4$ , тв	-1400.8±3.5	-1396±12

Определение парциального давления кислорода и активности оксидов щелочных металлов методом ИМР. В настоящей работе разработана методика определения парциального давления кислорода и активностей оксидов щелочных металлов методом ИМР в системах, насыщенные пары которых не содержат отрицательных ионов. Суть методики заключается в следующем: к системе делается малая добавка вещества дающего в паре необходимые ионы. Изучая соответствующее ионно-молекулярное равновесие определяют парциальное давление газа или активность интересующего компонента. Влияние добавки на определяемые параметры системы оценивается специальным образом поставленным экспериментом. Апробацию предложенного подхода проводили на системах  $Ni - NiO$  и  $Na_2O - SiO_2$ .

Давление кислорода в системе  $Ni - NiO$ . Над системой  $Ni - NiO$  не зарегистрировано никаких отрицательных ионов. Для применения метода ИМР сделана добавка  $Na_2PO_3$  (~1 мол.%), после чего зарегистрированы масс-спектр отрицательных ионов:  $PO_2^-$  и  $PO_3^-$ . Это дало возможность определить парциальное давление кислорода в исследуемой системе через ионно-молекулярное равновесие

$$PO_2^- + I/2O_2 = PO_3^- \quad P(O_2) = \left[ \frac{P(PO_3^-)}{P(PO_2^-)} \cdot \frac{1}{K_p} \right]^2 \quad (5)$$

значение константы равновесия  $K(5)$  определено ранее.

Для учета влияния добавки эксперимент проводился следующим образом: при одной температуре несколько раз подряд (обычно  $n_2 = 2,3$ ) прописывались масс-спектры отрицательных ионов (серия масс-спектров). Из каждого масс-спектра рассчитана величина  $Y_g = \ln \left( \frac{I(PO_3^-)}{I(PO_2^-)} \right)$  пропорциональная парциальному давлению кисло-

## II

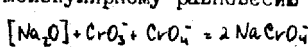
рода ( $j$  - номер масс-спектра в серии  $i$ ). Величины  $Y_j$  усреднены давая средние в серии  $Y_i = \frac{\sum Y_j}{n_i}$ . Через некоторое время при той же температуре измерена вторая серия масс-спектров и рассчитано новое значение среднего в серии. Такие измерения проведены несколько раз. Добавленный метафосфат натрия постоянно испаряется, т.е. каждое среднее в серии рассчитано с различным количеством добавки. Общая продолжительность опыта составила ~6 часов.

Для ответа на вопрос, оказывает ли существенное влияние добавка на измеряемые параметры системы сравнивали средние в сериях. Если разброс между средними в сериях при одной температуре не превышал экспериментального разброса воспроизводимости, то считали, что добавка не оказывает существенного влияния на парциальное давление кислорода в системе  $Ni - NiO$ .

В качестве оценки разброса воспроизводимости при одной температуре выбрана величина объединенного стандартного отклонения при одной температуре  $S_e = [(\sum_j (Y_j - Y_i)^2 n_i) / \sum_i (n_i - 1)]^{1/2}$ . Разброс средних в серии относительно общего среднего  $Y = \frac{\sum Y_i}{\sum n_i}$  характеризуется величиной  $S_h = [(\sum_i (Y_i - Y)^2 n_i) / (I - 1)]^{1/2}$  ( $I$  - количество серий измеренных при одной температуре). В нашем случае величины  $S_e$  и  $S_h$  различаются не значимо при всех температурах, т.е. выполняется неравенство  $\frac{S_h}{S_e} \leq F_{0.1, V_h, V_e}^{1/2}$ , где  $F_{0.1}$  - значение критерия Фишера с уровнем значимости 0.1 и степенями свободы  $V_h$  и  $V_e$  для дисперсий  $S_h^2$  и  $S_e^2$  соответственно. Это указывает, что в наших опытах отсутствует существенное влияние добавки на измеряемое парциальное давление кислорода.

Значения общего среднего  $Y$ , стандартных отклонений  $S_h$ ,  $S_e$  и степеней свободы  $V_h$ ,  $V_e$  приведены в табл. 5. Там же приведено рассчитанное парциальное давление кислорода в системе  $Ni - NiO$ . Рассчитанное давление кислорода удовлетворительно согласуется с аналогичной величиной рассчитанной по данным банка ИВГАНТЕРМО.

Активность оксида натрия в системе  $Na_2O - SiO_2$ . Над системой  $Na_2O - SiO_2$  не зарегистрировано никаких отрицательных ионов. Для применения метода ИМР сделана добавка  $K_2CrO_4$  (0.1-5 мол.%). В новых условиях зарегистрированы ионы:  $CrO_4^{2-}$ ,  $CrO_4^{+}$  и  $NaCrO_4$ . Активность оксида натрия в данной системе определена по ионно-молекулярному равновесию



$$a(Na_2O) = \frac{P(NaCrO_4)^2}{P(CrO_4^{2-})P(CrO_4^{+})} \cdot \frac{1}{K_P} \quad (6)$$

Построение эксперимента подобно исследованию системы Ni - NiO. Существенное отличие состоит в том, что система  $\text{Na}_2\text{O} - \text{SiO}_2$  испаряется инконгруэнтно, что исключает длительное испарение в связи с изменением исходного состава системы. Поэтому с каждым исследуемым составом системы проведено по два эксперимента с разным количеством добавки. Относительное количество добавки изменялось в 4-6 раз. Исследовано 5 составов системы  $\text{Na}_2\text{O} - \text{SiO}_2$  в интервале температур 1250-1550 К. В табл. 6 в качестве примера приведен набор данных для состава 30 мол.%  $\text{Na}_2\text{O}$ . Величины  $S_h$  и  $S_e$  отличаются не значимо для всех температур и составов системы  $\text{Na}_2\text{O} - \text{SiO}_2$ , следовательно добавка не вносит существенного влияния на измеряемую активность оксида натрия. Полученные активности согласуются с литературными значениями в пределах погрешности эксперимента, что подтверждает правомерность применения метода ИМР для исследования систем подобных  $\text{Na}_2\text{O} - \text{SiO}_2$ .

Таблица 5. Давление кислорода в системе Ni - NiO.

T, K	Y *	$S_h$	$S_e$	$v_e$	$v_h$	$P(\text{O}_2) \text{ Pa} \cdot 10^4$	$P(\text{O}_2) \text{ Pa} \cdot 10^4$
1300	4.72	0.06	0.11	6	2	0.06	0.11
1344	4.56	0.17	0.02	3	2	0.28	0.46
1387	4.32	0.35	0.11	5	2	0.88	1.7
1430	4.22	0.10	0.07	6	2	3.4	5.8
1473	3.98	0.11	0.09	6	2	9.1	18

\*  $Y = \left\langle \ln \frac{P(\text{O}_2)}{P(\text{O}_2)_0} \right\rangle$ , рассчитано по данным банка ИВТАНТЕРМО.

Таблица 6. Активность оксида натрия в системе  $\text{Na}_2\text{O} - \text{SiO}_2$  состав 30 мол.%  $\text{Na}_2\text{O}$ .

T, K	Y *	$S_e$	$S_h$	$v_e$	$v_h$	$\ln a(\text{Na}_2\text{O})$
1344	-12.09	0.42	0.67	3	1	-20.93
1387	-11.96	0.32	0.25	4	3	-20.40
1430	-11.72	0.18	0.16	4	4	-19.78
1473	-11.39	0.12	0.12	5	3	-19.08
1515	-11.23	0.08	0.04	2	1	-18.57

\*  $Y = \left\langle \ln \frac{\left( \frac{P(\text{O}_2)}{P(\text{O}_2)_0} \right)^2}{\left( \frac{P(\text{O}_2)}{P(\text{O}_2)_0} \right) \left( \frac{P(\text{O}_2)}{P(\text{O}_2)_0} \right)} \right\rangle$

Погрешность метода ИМР. Погрешность определения парциального давления кислорода или активности оксида щелочного металла в предлагаемой методике зависит от ошибки в измерении отношения ионных токов и погрешности привлекаемых констант равновесия (см. например формулы 4 и 5).

В качестве оценки погрешности измерения отношения ионов в настоящей работе принята усредненная по всем температурам величина межсерийной дисперсии

$$\langle S_h \rangle^2 = (\sum_n S_{hn}^2 (I_n - 1)) / (\sum_n (I_n - N))$$

которая наиболее точно характеризует разброс экспериментальных данных ( $n$  — порядковый номер температуры,  $N$  — количество температур в опыте). Для определения парциального давления кислорода величина  $\langle S_h \rangle = 0.19$ , а для активности оксида натрия в системе  $\text{Na}_2\text{O} - \text{SiO}_2$   $\langle S_h \rangle = 0.36$ .

Погрешность величины константы равновесия в уравнении 5 определялась из погрешностей экспериментальных значений констант равновесия реакций:



и составила  $s(\ln K(5)) = (s^2(\ln K(7)) + s^2(\ln K(8)))^{1/2} = 0.24$

Аналогичным образом определена погрешность значения константы равновесия реакции 6,  $s(\ln K(6)) = 0.4$ . Полная погрешность определения парциального давления кислорода методом ИМР составила  $s(\ln P(\text{O}_2)) = (\langle S_h \rangle^2 + s^2(\ln K(5)))^{1/2} = 0.43$ , что соответствует коэффициенту 1.5 в абсолютном давлении кислорода. Для активности оксида натрия полная погрешность равна  $s(\ln a(\text{Na}_2\text{O})) = (\langle S_h \rangle^2 + s^2(\ln K(6)))^{1/2} = 0.60$  или коэффициент 2 в  $a(\text{Na}_2\text{O})$ .

Диапазон определения активности оксидов щелочных металлов (парциального давления кислорода) зависит от вида используемых ионов и динамического диапазона масс-спектрометра ( $10^5$ ). В табл. 7 приведены минимальные значения активности оксида натрия и парциального давления кислорода, которые могут быть определены через ионно-молекулярные равновесия с участием исследованных нами ионов.

Таблица 7. Минимальные определяемые давления кислорода и активности оксида натрия.

Пара ионов	$P(O_2), \text{мин}, \text{Па}$	Набор ионов	$a(Na_2O)$
1. $SO_2^-$ , $SO_3^-$	$3 \cdot 10^{-13}$	1. $SO_2^-$ , $SO_3^-$ , $NaSO_4^-$	$4 \cdot 10^{-8}$
2. $SO_2^-$ , $SO_4^-$	$1 \cdot 10^{-5}$	2. $SO_2^-$ , $SO_4^-$ , $NaSO_4^-$	$6 \cdot 10^{-16}$
3. $SO_3^-$ , $SO_4^-$	$4 \cdot 10^{-7}$	3. $SO_3^-$ , $SO_4^-$ , $NaSO_4^-$	$2 \cdot 10^{-22}$
4. $CrO_3^-$ , $CrO_4^-$	$1 \cdot 10^{-5}$	4. $CrO_3^-$ , $CrO_4^-$ , $NaCrO_4^-$	$5 \cdot 10^{-14}$
5. $MoO_3^-$ , $MoO_4^-$	$2 \cdot 10^{-8}$	5. $MoO_3^-$ , $MoO_4^-$ , $NaMoO_4^-$	$2 \cdot 10^{-23}$
6. $WO_3^-$ , $WO_4^-$	$4 \cdot 10^{-9}$	6. $WO_3^-$ , $WO_4^-$ , $NaWO_4^-$	$2 \cdot 10^{-23}$

В заключение дадим краткое сравнение методов определения активности оксида натрия в нариевосиликатной системе. В методе высокотемпературной масс-спектрометрии (ВТМС) измеряются парциальные давления кислорода и натрия. Основные трудности с которыми сталкивается ВТМС при определении парциального давления кислорода связаны с проблемой измерения ионного тока  $O_2^+$ . Причина наличие большого постороннего сигнала возникающего при ионизации остаточных газов. Мы заменили плохо измеряемый ионный ток  $O_2^+$  на хорошо измеряемое отношение давлений ионов. Кроме того, в отличие от ВТМС, в методе ИМР не надо определять константу чувствительности аппарата, т.к. используется только отношение ионных токов.

Методы э.д.с. и потока при исследовании двухкомпонентных систем дают более достоверные результаты с меньшей погрешностью, чем метод ИМР – нет необходимости делать добавку постороннего вещества к системе. Но на наш взгляд, метод ИМР более универсальный: Так при использовании методов э.д.с. и потока для изучения многокомпонентных систем с наличием нескольких оксидов щелочных металлов возникают принципиальные трудности. В случае метода ИМР исследования многокомпонентных систем проводится

совершенно аналогичным способом, как и в двухкомпонентной системе.

### ОСНОВНЫЕ РЕЗУЛЬТАТЫ РАБОТЫ.

1. Разработана методика определения парциального давления кислорода и активности оксидов щелочных металлов посредством измерения отношения парциальных давлений ионов, генерируемых малой добавкой солей щелочных металлов.
2. Установлено, что в насыщенном паре кислородсодержащих солей щелочных металлов вида  $M_2XO_4$  ( $X = S, Cr, Mo, W$ ) и систем на их основе присутствуют ионы:  $XO_3^-$ ,  $XO_4^-$ ,  $MXO_4^-$ ,  $(M_2XO_4)M'X'O_4^-$ ,  $(XO_3)MX'O_4^-$ .
3. Измерены константы равновесия и определены энталпии 43 ионно-молекулярных и ионно-ионных реакций с участием ионов перечисленных в пункте 2.
4. Определен набор взаимосогласованных энталпий образования для 22 отрицательных ионов.
5. Впервые определены энталпии образования для 13 ионов:  $LiSO_4^-$ ,  $Li_2SO_4^-$ ,  $RbSO_4^-$ ,  $CsSO_4^-$ ,  $NaCrO_4^-$ ,  $MoO_4^-$ ,  $NaMoO_4^-$ ,  $KMoO_4^-$ ,  $CsMoO_4^-$ ,  $WO_4^-$ ,  $NaWO_4^-$ ,  $KWO_4^-$ ,  $CsWO_4^-$ .
6. Уточнены энталпии образования ионов:  $NaSO_4^-$ ,  $MoO_4^-$  и  $WO_4^-$ , для двух последних значительно.

*63*

### СПИСОК РАБОТ, ОПУБЛИКОВАННЫХ ПО ТЕМЕ ДИССЕРТАЦИИ.

1. О.М.Вовк, Е.Б.Рудный, Л.Н.Сидоров. Гетеролитическая диссоциация хромата натрия в газовой фазе и энталпия образования  $NaCrO_4^-$ . Вестн. МГУ серия 2, химия, 1987, т.28, № 3, с.221-225
2. Е.Б.Рудный, О.М.Вовк, Л.Н.Сидоров. Проверка применимости расчетов энергии кристаллической решетки и гетеролитической диссоциации для солей с двухзарядным анионом. В кн: Тезисы докладов XIX Всесоюзного Чугаевского совещания по химии комплексных соединений. Киев, 3-5.09.1985 ч. I с.293
3. О.М.Вовк, Е.Б.Рудный. Определение давления кислорода методом ионно-молекулярных равновесий. Материалы конф. молодых ученых Химического факультета МГУ. Рукопись деп. в ВНИТИ № 8374-Б65 с.248-251

4. О.М.Вовк, Е.Б.Рудный. Определение термодинамических свойств силикатных расплавов методом ионно-молекулярных равновесий. Рукопись деп. в ВИНИТИ № 2774-В86.
5. О.М.Вовк, Е.Б.Рудный. Отрицательные ионы в насыщенном паре хромата натрия. Материалы конф. молодых ученых Химического факультета МГУ. Рукопись деп. в ВИНИТИ № 7573-В86 с.182-185
6. О.М.Вовк, Е.Б.Рудный, Л.Н.Сидоров. Отрицательные ионы в насыщенном паре сульфатов щелочных металлов. Рукопись деп. в ВИНИТИ № 6912-В87.
7. И.Д.Сорокин, О.М.Вовк, Е.Б.Рудный, Л.Н.Сидоров. Способ изменения парциального давления кислорода. Заявка № 409763/24-21/080363 от 26 мая 1986г.
8. О.М.Вовк, Е.Б.Рудный, Л.Н.Сидоров. Применение метода ионно-молекулярных равновесий для масс-спектрального определения активности оксидов щелочных металлов. В кн: Тезисы докладов XIV Всесоюзной конференции по масс-спектрометрии 16-19 сентября 1986 г., Сумы, секция 7 с. 5-6
9. Е.Б.Рудный, О.М.Вовк, Л.Н.Сидоров, Е.А.Кайбичева. Отрицательные ионы в сульфатах щелочных металлов. В кн: Тезисы докладов XUI Всесоюзного Чугаевского совещания по химии комплексных соединений. 16-18 июня, Красноярск, 1987 ч. I с. 200
10. L.N.Sidorov, E.B.Rudny, I.D.Sorokin, O.M.Vovk, A.Ya.Bortschevsky. The Knudsen cell mass-spectrometry study of ion/molecule equilibria and the determination of the oxygen pressure. In: Abstract of Papers presented of the 10<sup>th</sup> International Mass-Spectrometry Conference. Swansea, United Kingdom, 9th-13th September 1985, № 270.
11. L.N.Sidorov, E.B.Rudny, O.M. Vovk. Ion/molecule equilibria and the activity determination of alkali mixtures. Fifth international conference on high temperature and energy related materials. May 25-29, 1987. Roma, Abstracts.